



(12)

DEMANDE DE BREVET EUROPEEN

(21) Numéro de dépôt : 92401798.1

(51) Int. Cl.⁵ : G06F 15/68

(22) Date de dépôt : 25.06.92

(30) Priorité : 27.06.91 FR 9107962

(72) Inventeur : Martinuzzi, Jean-Michel

(43) Date de publication de la demande :
20.01.93 Bulletin 93/03

12 rue des Gestes
F-31000 Toulouse (FR)

(84) Etats contractants désignés :
DE ES FR GB IT NL SE

(74) Mandataire : Schrimpf, Robert
Cabinet Regimbeau 26, Avenue Kléber
F-75116 Paris (FR)

(71) Demandeur : CENTRE NATIONAL D'ETUDES
SPATIALES
2, Place Maurice Quentin
F-75001 Paris (FR)

(54) Procédé d'enregistrement et de traitement d'une image et instrument de prise de vues pour la mise en œuvre de ce procédé.

(57) Procédé d'enregistrement et de traitement d'une image d'une scène située dans un plan P donné rapporté à deux directions perpendiculaires x, y, ladite image étant fournie par un instrument (100) de prise de vues présentant, dans la direction u ($u = x, y$) du plan P, une fonction de transfert de modulation $H_u(f)$ de fréquence de coupure f_{cu} , f désignant la fréquence spatiale, procédé comprenant, d'une part, une première étape d'enregistrement de ladite image à une fréquence d'échantillonnage f_{eu} de l'image dans la direction u, égale à $k f_{cu}$, k étant un nombre entier supérieur à 1 et, d'autre part, une deuxième étape de traitement de l'image enregistrée consistant à appliquer à ladite image un filtre de déconvolution.

Selon l'invention, ledit filtre de déconvolution est égal, dans le domaine fréquentiel et pour chaque direction u, au produit de l'inverse de la fonction de transfert de modulation $H_u(f)$ par une fonction de troncature $I_u(f)$ ajustable.

Application à l'observation de la Terre à partir de satellites artificiels.

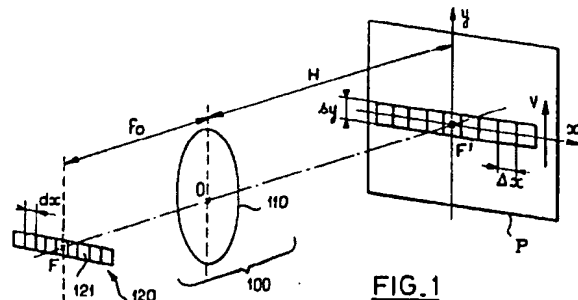


FIG. 1

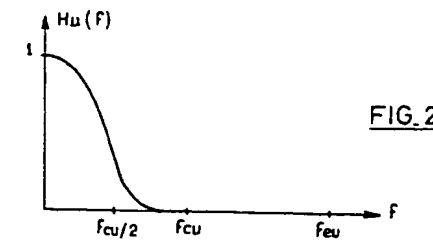


FIG. 2

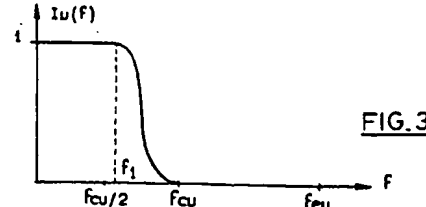


FIG. 3

Best Available Copy

La présente invention concerne un procédé d'enregistrement et de traitement d'une image d'une scène située dans un plan P donné rapporté à deux directions perpendiculaires x, y, ladite image étant fournie par un instrument de prise de vues présentant, dans la direction u ($u = x, y$) du plan P, une fonction de transfert de modulation $H_u(f)$ de fréquence de coupure f_{eu} , f désignant la fréquence spatiale.

5 L'invention trouve une application particulièrement avantageuse dans le domaine de l'observation de la Terre à partir de satellites artificiels.

Les instruments de prise de vues utilisés dans les systèmes satellitaires d'observation de la Terre comportent, soit un détecteur élémentaire dont l'image dans le plan P parcourt la scène à enregistrer à l'aide d'un dispositif de balayage mécanique couplé au mouvement de translation ou de rotation du satellite, soit une barrette linéaire de détecteurs élémentaires, par exemple du type à couplage de charges (CCD), avec balayage en translation dans la direction perpendiculaire à l'axe de ladite barrette (balayage dit "pushbroom").

10 De façon usuelle, le procédé conforme au préambule comprend une première étape d'enregistrement de l'image à une fréquence d'échantillonnage f_{eu} dans la direction u, égale à la fréquence de coupure f_{eu} dont l'inverse correspond à la résolution spatiale au niveau du plan P d'observation. Cette résolution est en général limitée par les dimensions du (des) détecteur(s) élémentaire(s) utilisé(s).

15 Toutefois, du fait que le dispositif de formation d'images de l'instrument de prise de vues, un télescope par exemple, n'est pas lui-même parfait, la fonction de transfert de modulation $H_u(f)$ n'est pas égale à 1 sur tout le spectre de fréquence, ce qui conduit à une dégradation de l'image enregistrée de la scène à observer. Il est possible de traiter cette image en lui appliquant un filtre de déconvolution. Si on appelle $P_u(f)$ et $S_u(f)$ les 20 spectres de fréquence respectifs dans la direction u de la scène à observer et de l'image enregistrée, on a la relation :

$$S_u(f) = H_u(f) P_u(f)$$

Pour restituer $P_u(f)$, il faut donc appliquer à $S_u(f)$ un filtre de déconvolution qui dans le domaine fréquentiel est égal à l'inverse de la fonction de transfert de modulation

$$P_u(f) = \frac{1}{H_u(f)} S_u(f)$$

25 Ce qui s'exprime dans le domaine spatial par le produit de convolution :

$$p(u) = \text{TF}^{-1} \left[\frac{1}{H_u(f)} \right] \otimes s(u)$$

30 TF^{-1} désignant la transformée de Fourier inverse, et $p(u)$ et $s(u)$ étant les fonctions spatiales représentant respectivement la scène et son image.

Cependant la théorie du traitement du signal, notamment le théorème de Shannon, montre que seules les 35 fréquences inférieures ou égales à la moitié de la fréquence d'échantillonnage peuvent être restituées par déconvolution, cette limitation étant due au phénomène général de repliement spectral. De plus, lors de la déconvolution, les hautes fréquences, comprises entre $f_{eu}/2$ et f_{eu} , viennent perturber les basses fréquences comprises entre 0 et $f_{eu}/2$.

Il a été proposé dans l'article "Repliement spectral lié à l'utilisation de détecteurs constitués de cellules CCD" de G. Jacquemod et al., paru dans la revue "Traitement du Signal" Vol. 5, n° 1, 1988, de limiter l'influence 40 du repliement spectral par un suréchantillonnage de l'image, la fréquence d'échantillonnage f_{eu} étant prise égale à $k f_{eu}$, k étant un nombre entier supérieur à 1. Dans ce cas, il est possible de restituer les fréquences au moins jusqu'à la fréquence de coupure f_{eu} . D'autre part, comme au-delà de f_{eu} la fonction de transfert de modulation est pratiquement nulle, les fréquences supérieures à f_{eu} sont sans effet sur les basses fréquences inférieures à f_{eu} .

45 On dispose donc d'un moyen d'augmenter d'un facteur k la résolution dans la direction u d'un instrument de prise de vues donné ou, selon un autre aspect du procédé, de réaliser un instrument de prise de vues ayant les mêmes performances de résolution mais de moindre encombrement dans la mesure où la distance focale du dispositif de formation d'images peut être divisée par k tout en conservant la même ouverture numérique, et donc le même rapport signal à bruit. Cette dernière possibilité présente un avantage très important dans le cas de l'application spatiale envisagée ci-dessus puisque ne serait-ce qu'un facteur k = 2 permettrait un gain de 8 en volume et 4 à 5 sur la masse de l'instrument de prise de vues, d'où une diminution appréciable de la charge utile du satellite.

50 Il faut cependant signaler que les avantages précités ne sont pas sans inconvénients. En effet, que ce soit dans le cas d'une augmentation de la résolution d'un instrument de prise de vues donné, ou dans celui de l'utilisation d'un dispositif de formation d'images de distance focale réduite, l'opération de déconvolution a pour conséquence une diminution du rapport signal à bruit, ceci étant dû au fait que, compte tenu du spectre de bruit $B_u(f)$, le signal radiométrique $S_u(f)$ de l'image s'écrit :

$$S_u(f) = H_u(f) P_u(f) + B_u(f).$$

L'application du filtre de déconvolution conduit à une scène restituée :

$$P_u'(f) = \frac{S_u(f)}{H_u(f)} = P_u(f) + \frac{B_u(f)}{H_u(f)}$$

La fonction de transfert de modulation $H_u(f)$ étant au plus égale à 1, on comprend que l'effet du bruit $B_u(f)$ a tendance à augmenter. Aussi, le problème technique à résoudre par l'objet de la présente invention est de proposer un procédé conforme au préambule, comprenant, d'une part, une première étape d'enregistrement de ladite image à une fréquence d'échantillonnage f_{eu} de l'image dans la direction u égale à $k f_{cu}$, k étant un nombre entier supérieur à 1, et, d'autre part, une deuxième étape de traitement de l'image enregistrée consistant à appliquer à ladite image un filtre de déconvolution, procédé qui permettrait, lors de l'opération de déconvolution, de conserver l'essentiel des avantages du procédé de suréchantillonnage tout en ayant la possibilité de toujours maîtriser le niveau de bruit final à une valeur acceptable.

La solution au problème technique posé consiste, selon la présente invention, en ce que ledit filtre de déconvolution est égal, dans le domaine fréquentiel et pour chaque direction u , au produit de l'inverse de la fonction de transfert de modulation $H_u(f)$ par une fonction de troncature $I_u(f)$ ajustable.

Ainsi, la scène reconstituée a pour spectre de fréquence :

$$P_u'(f) = I_u(f) P_u(f) + I_u(f) \frac{B_u(f)}{H_u(f)}$$

On notera que l'effet de la fonction de troncature $I_u(f)$ varie en sens contraire selon que l'on considère la qualité image ou le rapport signal à bruit. Si l'on désire limiter sensiblement le bruit final, on choisira une fonction de troncature faible, au détriment de la résolution spatiale représentée par $I_u(f) P_u(f)$, ce qui n'est pas très pénalisant dans le cas d'un instrument de prise de vues donné dont le suréchantillonnage augmente la résolution et réduit le signal. Par contre, pour un instrument sous-dimensionné dont le suréchantillonnage permet de maintenir la résolution avec une même ouverture et donc le même signal, on pourra choisir une fonction de troncature $I_u(f)$ plus importante. Bien entendu, selon l'instrument considéré, la fonction de troncature sera choisie et adaptée, en tenant compte des caractéristiques de la mission à accomplir.

La description qui va suivre en regard des dessins annexés, donnés à titre d'exemples non limitatifs fera bien comprendre en quoi consiste l'invention et comment elle peut être réalisée.

La figure 1 est un schéma d'un instrument de prise de vues pour la mise en œuvre du procédé selon l'invention.

La figure 2 montre une fonction de transfert de modulation typique de l'instrument de la figure 1.

La figure 3 montre une fonction de troncature applicable en combinaison avec la fonction de transfert de modulation de la figure 2.

La figure 4a montre un mode de réalisation du suréchantillonnage colonne pour une barrette linéaire de détecteurs.

La figure 4b montre un mode de réalisation du suréchantillonnage ligne pour une barrette linéaire de détecteurs.

La figure 5 est un premier montage de barrettes linéaires réalisant un suréchantillonnage ligne d'ordre 2.

La figure 6 est un deuxième montage de barrettes linéaires réalisant un suréchantillonnage ligne d'ordre 2.

La figure 1 représente de façon schématique un instrument 100 de prise de vues, installé par exemple à bord d'un satellite artificiel de la Terre, et destiné à fournir une image d'une scène située dans un plan P donné, rapporté à deux directions perpendiculaires x , y . Dans l'application envisagée, le plan P correspond au sol.

L'instrument 100 de prise de vues est constitué, d'une part, d'un dispositif de formation d'images schématisé par une lentille 110, mais qui pourrait être tout aussi bien un télescope à miroirs par exemple, et, d'autre part, d'une barrette linéaire 120 de détecteurs élémentaires 121 du type CCD, placée au foyer F de la lentille 110. Dans la suite de la description et sans que cela ne soit limitatif, les détecteurs élémentaires 121 sont supposés de forme carrée. Comme on peut le voir sur la figure 1, le mode de balayage du plan P est du type "pushbroom" dans lequel l'image d'axe x de la barrette linéaire 120 se déplace dans la direction perpendiculaire y avec une vitesse V égale à la vitesse au sol du satellite.

L'instrument 100 de prise de vues présente dans chaque direction $u = x$, y du plan P une fonction de transfert de modulation $H_u(f)$ dont une allure typique est donnée sur la figure 2. Cette fonction de transfert de modulation s'annule pour une fréquence de coupure f_{cu} correspondant à la résolution de l'instrument 100. Généralement, le pouvoir de résolution est limité par la structure discontinue des détecteurs plus que par la qualité du dispositif de formation d'images. Si d_x représente la taille des détecteurs élémentaires 121, la résolution au sol Δu dans la direction u du plan P est donnée par

$$\Delta u = \frac{H}{f_0} dx$$

H étant l'altitude du satellite et f_o la distance focale du dispositif de formation d'images. A titre d'exemple, pour un satellite dont l'orbite est située à 800 km de la Terre, une distance focale de 1 m et des détecteurs élémentaires de 7 μm de côté, on atteint une résolution au sol de 5,6 m.

La fréquence de coupure f_{cu} est alors sensiblement égale à

$$5 \quad f_{cu} = \frac{1}{\Delta u} \times \frac{f_o}{Hd}$$

L'image de la scène à observer est d'abord enregistrée à une fréquence d'échantillonnage f_{eu} dans la direction u égale à $k f_{cu}$, k étant un nombre entier supérieur à 1. Dans le mode de réalisation particulier montré à la figure 2, le coefficient de suréchantillonnage k a été pris égal à 2, de sorte que f_{eu} vaut

$$10 \quad f_{eu} = 2 f_{cu} = \frac{2}{\Delta u}$$

Après cette première étape d'enregistrement, l'image enregistrée $S_u(f)$ est soumise à une opération de traitement consistant à lui appliquer un filtre de déconvolution égal, dans le domaine fréquentiel et dans chaque direction u , au produit de l'inverse de la fonction de transfert de modulation $H_u(f)$ par une fonction de troncature $I_u(f)$.

La figure 3 montre un exemple d'une telle fonction de troncature analytiquement donnée par

$$20 \quad I_u(f) = \begin{cases} 1 & \text{si } f \leq f_1 \\ \cos^2 \frac{\pi (f-f_1)}{2(f_{cu}-f_1)} & \text{si } f_1 \leq f \leq f_{cu} \\ 0 & \text{si } f \geq f_{cu} \end{cases}$$

Cette courbe est connue sous le nom de fenêtre de Hanning.

30 Comme cela a été expliqué plus haut, la fonction de troncature $I_u(f)$ est ajustable de manière à obtenir, en fonction de la mission envisagée, le meilleur compromis entre résolution spatiale et rapport signal à bruit.

Les figures 4a et 4b indiquent respectivement comment, dans le cas d'une barrette linéaire de CCD, un suréchantillonnage par 2 en colonne et en ligne peut être obtenu.

En ce qui concerne le suréchantillonnage colonne (Figure 4a), il suffit de disposer d'un temps d'intégration T_i de la barrette égal au temps Δt qui met la trace au sol du satellite pour parcourir la distance $\Delta y/2$ soit :

$$35 \quad T_i = \Delta t = \frac{\Delta y}{2V} = \frac{\Delta u}{2V}$$

Pour réaliser le suréchantillonnage ligne (Figure 4b), il suffit de disposer de deux barrettes élémentaires parallèles, de même pas dx , décalées l'une par rapport à l'autre de la distance $dx/2$ de sorte que les images de ces deux barrettes dans le plan P soient décalées de $\Delta x/2 = \Delta u/2$.

40 La figure 5 donne un premier montage de deux barrettes linéaires réalisant un suréchantillonnage ligne d'ordre 2. Les barrettes 120' et 120" sont montées chacune sur une face d'un prisme respectif 210', 210", lesdits prismes étant accolés de façon à constituer un diviseur optique 200 de ligne. Le flux incident 300 se partage à l'interface 220 des deux prismes formant lame semi-réfléchissante. Chaque barrette linéaire 120' et 120" ne reçoit donc que la moitié de l'énergie lumineuse provenant de la scène à observer, d'où une limitation du rapport signal à bruit.

45 Le montage représenté sur la figure 6 permet d'obtenir un suréchantillonnage d'ordre 2 avec un signal multiplié par un facteur 2 par rapport au montage précédent. Les deux barrettes linéaires 120', 120", décalées de $dx/2$, sont réalisées dans un même composant 400, et, de façon à assurer la synchronisation des images enregistrées séparément par chacune des barrettes, le retard à l'enregistrement de l'une des barrettes par rapport à l'autre doit être égal à $k'T_i$, k' étant un nombre entier non nul, ce qui impose que la distance d séparant les barrettes soit égale à $k'dx/2$. Dans ce deuxième montage, chaque ligne de détecteurs reçoit l'intégralité du flux lumineux incident, d'où un signal double de celui correspondant au montage de la figure 5. Dans le cas où le bruit photonique est prépondérant, le rapport signal à bruit est multiplié par un facteur égal à $\sqrt{2}$.

50 Il faut également noter que le dernier montage peut se généraliser au cas d'un suréchantillonnage d'ordre k supérieur à 2. Il suffit de disposer dans un même composant de k barrettes linéaires décalées de dx/k et distantes de $k'dx/k$. Le nombre k est seulement limité par les possibilités technologiques de réaliser un composant à plusieurs barrettes.

Enfin, l'invention a été décrite en mettant en oeuvre une pluralité de détecteurs élémentaires assemblés

en barrettes, mais il est bien entendu qu'elle pourrait tout aussi bien être réalisée avec un seul détecteur élémentaire. Dans ce cas, l'enregistrement de l'image sur le détecteur est effectué par balayage de l'image dudit détecteur élémentaire dans les deux directions du plan P avec suréchantillonnage sur chacun des balayages.

5

Revendications

1. Procédé d'enregistrement et de traitement d'une image d'une scène située dans un plan P donné rapporté à deux directions perpendiculaires x, y, ladite image étant fournie par un instrument (100) de prise de vues présentant, dans la direction u ($u = x, y$) du plan P, une fonction de transfert de modulation $H_u(f)$ de fréquence de coupure f_{cu} , f désignant la fréquence spatiale, procédé comprenant, d'une part, une première étape d'enregistrement de ladite image à une fréquence d'échantillonnage f_{eu} de l'image dans la direction u, égale à $k f_{cu}$, k étant un nombre entier supérieur à 1 et, d'autre part, une deuxième étape de traitement de l'image enregistrée consistant à appliquer à ladite image un filtre de déconvolution, caractérisé en ce que ledit filtre de déconvolution est égal, dans le domaine fréquentiel et pour chaque direction u, au produit de l'inverse de la fonction de transfert de modulation $H_u(f)$ par une fonction de troncature $I_u(f)$ ajustable.
2. Procédé selon la revendication 1, caractérisé en ce que, ledit instrument de prise de vues comportant au moins un détecteur élémentaire (121) et la fréquence de coupure f_{cu} étant sensiblement égale à l'inverse de la dimension Δu de l'image dudit détecteur élémentaire dans la direction u du plan P, la fréquence d'échantillonnage f_{eu} est égale à $k / \Delta u$.
3. Procédé selon l'une des revendications 1 ou 2, caractérisé en ce que, ledit instrument de prise de vues comportant un détecteur élémentaire (121), l'enregistrement de ladite image est réalisé par balayage de l'image dudit détecteur élémentaire dans les deux directions x, y du plan P.
4. Procédé selon l'une des revendications 1 ou 2, caractérisé en ce que, ledit instrument (100) de prise de vues comportant au moins une barrette linéaire (120) d'une pluralité de détecteurs élémentaires (121) dont les images dans le plan P sont alignées dans la direction x, l'enregistrement de ladite image est réalisé par balayage de l'image de ladite barrette linéaire (120) dans la direction y.
5. Instrument de prise de vues pour la mise en oeuvre du procédé selon la revendication 4, caractérisé en ce que ledit instrument (100) comporte k barrettes linéaires parallèles (120, 120'), de même pas dx, décalées successivement de la distance dx/k et séparées l'une de l'autre de la distance $k'dx/k$, k' étant un nombre entier non nul.
6. Instrument de prise de vues pour la mise en oeuvre du procédé selon la revendication 4, caractérisé en ce que, le nombre k étant égal à 2, ledit instrument (100) comporte au moins deux barrettes linéaires parallèles (120', 120'') de même pas dx, disposées sur un diviseur optique de ligne et décalées l'une par rapport à l'autre de la distance $dx/2$.

40

45

50

55

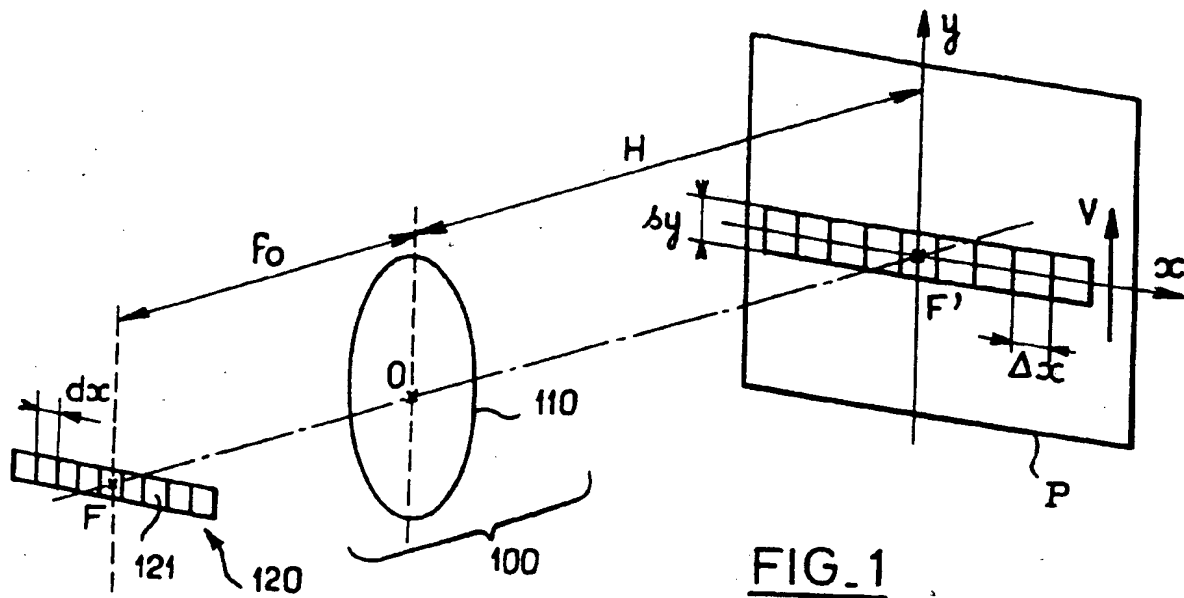


FIG. 1

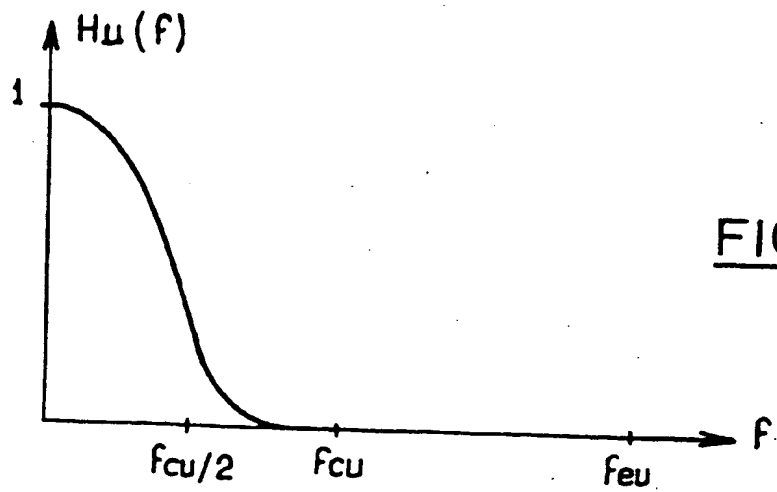


FIG. 2

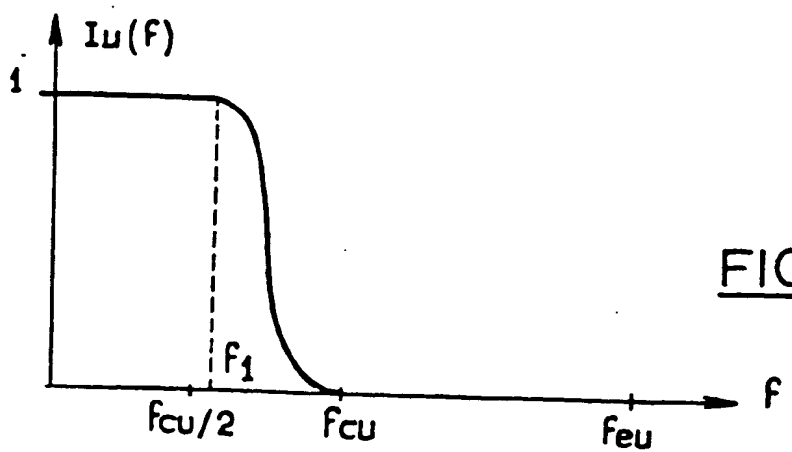


FIG. 3

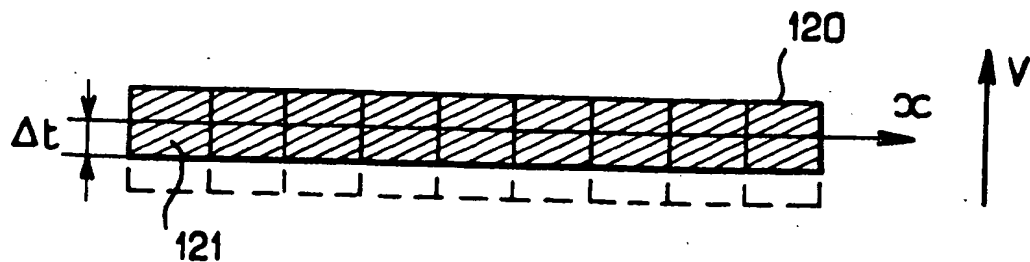


FIG. 4a

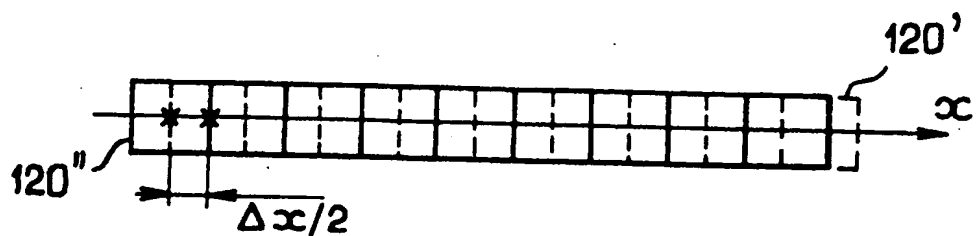


FIG. 4b

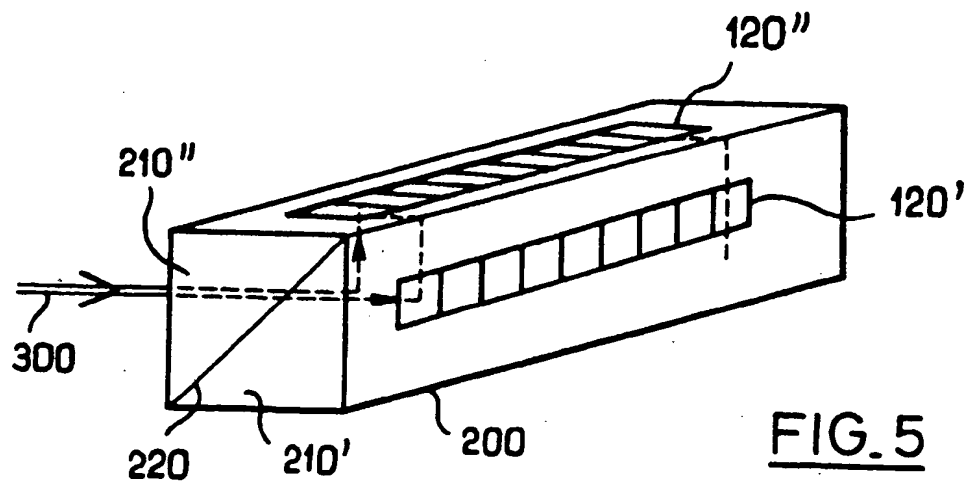


FIG. 5

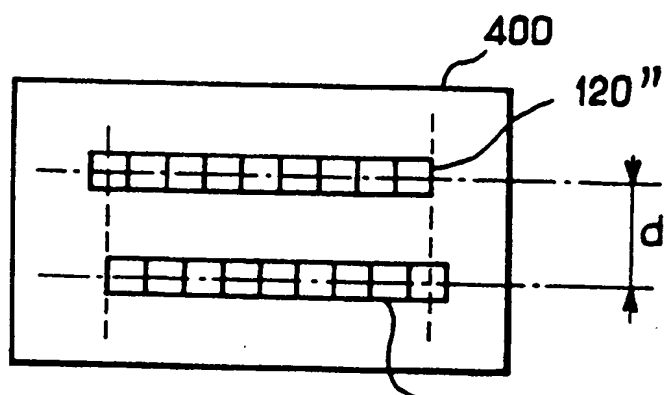


FIG. 6



DOCUMENTS CONSIDERES COMME PERTINENTS

Catégorie	Citation du document avec indication, en cas de besoin, des parties pertinentes	Revendication concernée	CLASSEMENT DE LA DEMANDE (Int. Cl.5)						
A	EP-A-0 157 490 (OPTICAL DISC CORPORATION) * abrégé; revendications 1,2 *	1-6	G06F15/68						
A	PATENT ABSTRACTS OF JAPAN vol. 10, no. 108 (E-398)(2165) 23 Avril 1986 & JP-A-60 246 188 (KOGYO K.K.) * abrégé *	1-6							

DOMAINES TECHNIQUES RECHERCHES (Int. Cl.5)									
G06F G11B									

Le présent rapport a été établi pour toutes les revendications									
<table border="1" style="width: 100%; border-collapse: collapse;"> <tr> <td style="width: 33%;">Lieu de la recherche</td> <td style="width: 33%;">Date d'achèvement de la recherche</td> <td style="width: 34%;">Examinateur</td> </tr> <tr> <td>LA HAYE</td> <td>23 OCTOBRE 1992</td> <td>GONZALEZ ORDONEZ O.</td> </tr> </table>				Lieu de la recherche	Date d'achèvement de la recherche	Examinateur	LA HAYE	23 OCTOBRE 1992	GONZALEZ ORDONEZ O.
Lieu de la recherche	Date d'achèvement de la recherche	Examinateur							
LA HAYE	23 OCTOBRE 1992	GONZALEZ ORDONEZ O.							
<table border="1" style="width: 100%; border-collapse: collapse;"> <tr> <td style="width: 50%;">CATEGORIE DES DOCUMENTS CITES</td> <td style="width: 50%;">T : théorie ou principe à la base de l'invention E : document de brevet antérieur, mais publié à la date de dépôt ou après cette date D : cité dans la demande L : cité pour d'autres raisons ----- & : membre de la même famille, document correspondant</td> </tr> <tr> <td>X : particulièrement pertinents à lui seul Y : particulièrement pertinents en combinaison avec un autre document de la même catégorie A : arrrière-plan technologique O : divulgation non-écrite P : document intercalaire</td> <td></td> </tr> </table>				CATEGORIE DES DOCUMENTS CITES	T : théorie ou principe à la base de l'invention E : document de brevet antérieur, mais publié à la date de dépôt ou après cette date D : cité dans la demande L : cité pour d'autres raisons ----- & : membre de la même famille, document correspondant	X : particulièrement pertinents à lui seul Y : particulièrement pertinents en combinaison avec un autre document de la même catégorie A : arrrière-plan technologique O : divulgation non-écrite P : document intercalaire			
CATEGORIE DES DOCUMENTS CITES	T : théorie ou principe à la base de l'invention E : document de brevet antérieur, mais publié à la date de dépôt ou après cette date D : cité dans la demande L : cité pour d'autres raisons ----- & : membre de la même famille, document correspondant								
X : particulièrement pertinents à lui seul Y : particulièrement pertinents en combinaison avec un autre document de la même catégorie A : arrrière-plan technologique O : divulgation non-écrite P : document intercalaire									
<table border="1" style="width: 100%; border-collapse: collapse;"> <tr> <td style="width: 50%;">-----</td> <td style="width: 50%;">-----</td> </tr> </table>				-----	-----				
-----	-----								

**This Page is Inserted by IFW Indexing and Scanning
Operations and is not part of the Official Record**

BEST AVAILABLE IMAGES

Defective images within this document are accurate representations of the original documents submitted by the applicant.

Defects in the images include but are not limited to the items checked:

- BLACK BORDERS**
- IMAGE CUT OFF AT TOP, BOTTOM OR SIDES**
- FADED TEXT OR DRAWING**
- BLURRED OR ILLEGIBLE TEXT OR DRAWING**
- SKEWED/SLANTED IMAGES**
- COLOR OR BLACK AND WHITE PHOTOGRAPHS**
- GRAY SCALE DOCUMENTS**
- LINES OR MARKS ON ORIGINAL DOCUMENT**
- REFERENCE(S) OR EXHIBIT(S) SUBMITTED ARE POOR QUALITY**
- OTHER:** _____

IMAGES ARE BEST AVAILABLE COPY.

As rescanning these documents will not correct the image problems checked, please do not report these problems to the IFW Image Problem Mailbox.